

# ساخت یک آپتاخسگر آمپرومتریک برای تعیین میزان باقیمانده آنتیبیوتیک در شیر

آیت محمدزاداری<sup>۱</sup>، مهدی قاسمی و رنامخواستی<sup>۲\*</sup>، سجاد رستمی<sup>۲</sup>  
علی اصغر انصافی<sup>۳</sup>، زهرا ایزدی<sup>۴\*</sup>، مجتبی بنیادیان<sup>۵</sup>

۱- دانشجوی دکتری، گروه مهندسی مکانیک بیوسیستم، دانشکده کشاورزی، دانشگاه شهرکرد

۲- دانشیار، گروه مهندسی مکانیک بیوسیستم، دانشکده کشاورزی، دانشگاه شهرکرد

۳- استاد، گروه شیمی، دانشگاه صنعتی اصفهان

۴- استادیار، گروه مهندسی مکانیک بیوسیستم، دانشکده کشاورزی، دانشگاه شهرکرد

۵- دانشیار گروه بهداشت مواد غذایی، دانشکده دامپزشکی، دانشگاه شهرکرد

(تاریخ دریافت: ۹۷/۱۱/۱۵ تاریخ پذیرش: ۹۸/۰۲/۲۸)

## چکیده

تشخیص کمی باقیمانده‌های دارویی در مواد غذایی با منشأ حیوانی اهمیت ویژه‌ای دارد. استفاده مفرط از داورهای دامپزشکی از جمله آنتیبیوتیک‌ها به علت باقیماندن در فرآورده‌های دامی مثل گوشت، شیر، تخمر، تهیید جدی برای مصرف کننده است. شناسایی سریع آنتیبیوتیک با استفاده از ابزاری کارآمد، سریع، مقرن به صرفه و اختصاصی برای کاهش خطر و کترل امنیت غذایی ضروری به نظر می‌رسد. در مطالعه حاضر، یک آپتاخسگر مبتنی بر الکترود مداد گرافیتی اصلاح شده با نانوموادها شامل گرافن و طلا جهت تشخیص سریع آنتیبیوتیک تراسایکلین در نمونه‌های شیر توسعه داده شد. تکنیک‌های ولتاکتری چرخه‌ای و پالس تفاضلی برای ارزیابی پاسخ آپتاخسگر مورد استفاده قرار گرفتند. به منظور اصلاح الکترود مداد گرافیتی نرخروش (۴۰ میلی ولت بر ثانیه) و تعداد سیکل (۱۰) و زمان تثیت گرافن (۹۰ دقیقه) بهینه شدند. تحت شرایط بهینه، با استفاده از تکنیک ولتاکتری پالس تفاضلی مشخص شد که در محدوده  $1 \times 10^{-12}$  تا  $1 \times 10^{-6}$  مولار با افزایش غلظت، جریان به طور خطی افزایش می‌یابد ( $R^2 = 0.985$ ). حد تشخیص کمی آپتاخسگر  $1/4 \times 10^{-13}$  مولار به دست آمد. بررسی مشخصه‌های عملکردی شامل تکرارپذیری، تکثیرپذیری، پایداری و انتخاب پذیری حاکی از کارایی قابل قبول آپتاخسگر داشت. درصد بازیابی آپتاخسگر در نمونه‌های شیر بین ۹۲/۸ تا ۹۸/۴ درصد به دست آمد. در مجموع آپتاخسگر ساخته شده کارایی لازم را برای شناسایی تراسایکلین در نمونه‌های شیر داشت.

**کلید واژگان:** آپتاخسگر، آمپرومتریک، آنتیبیوتیک، نانو مواد، ولتاکتری پالس تفاضلی.

\*نویسنده مسئول: Izadi.1365@yahoo.com

## ۱- مقدمه

کوتاه RNA یا (DNA) هستند که قابلیت بالای برای اتصال به آنالیت‌های مختلف، از جمله ماکرو مولکول‌ها، ویروس‌ها و پروتئین‌ها دارند.<sup>[۸]</sup>

در سال‌های اخیر استفاده از نانوموادها برای افزایش حساسیت آپتاخسگرها توجه زیادی را به خود جلب کرده است. از جمله نانو موادها می‌توان به نانو ورقه‌های گرافن و نانو ذرات طلا اشاره نمود. گرافن به خاطر داشتن هدایت الکتریکی قابل قبول و همچنین فعالیت‌های مکانیکی و حرارتی برای استفاده در زیست حسگرهای الکتروشیمیابی از جمله آپتاخسگرها باهلف اصلاح سطح الکترود مناسب است.<sup>[۹]</sup> از طرفی نانو ذرات طلا به خاطر داشتن ساختار منحصر به فرد، هدایت الکتریکی خوب و خواص کاتالیستی برای شناسایی آنالیت‌های مختلف و بهبود رسانایی آپتاخسگرها ایده‌آل هستند.<sup>[۱۰]</sup>

تابحال مطالعاتی در خصوص شناسایی بقایای آنتی‌بیوتیک تتراسایکلین در مواد غذایی گزارش شده است که می‌توان به رژو و همکاران (۲۰۱۴)، چن و همکاران (۲۰۱۴)، ژانگ و همکاران (۲۰۱۶)، اویانگ و همکاران (۲۰۱۷)، تانگ و همکاران (۲۰۱۸) اشاره نمود.<sup>[۱۱-۱۵]</sup> در سیستم اندازه‌گیری آپتاخسگرها، الکترود کاری نقش اصلی را ایفا می‌کند چرا که تمامی واکنش‌های مورد نظر در سطح آن رخ می‌دهد. الکترودهای کاری مختلفی تابحال برای کاربرد در زیست حسگرهای الکتروشیمیابی معرفی شده‌اند از جمله: الکترود کربن شیشه‌ای، الکترود صفحه چاپی، الکترود طلا، الکترود پلاتین و الکترود خمیر کربن‌الکترود مغز مداد گرافیتی [۱۶] در پژوهش حاضر از مغز مداد گرافیتی الکترود به علت قیمت ارزان، سازگار بودن با محیط زیست، سطح مکانیکی مناسب و در دسترس بودن استفاده شد.

هدف از انجام تحقیق حاضر، شناسایی آنتی‌بیوتیک تتراسایکلین در شیر با استفاده از یک آپتاخسگر مبتنی بر الکترود مداد گرافیتی اصلاح شده با نانوموادها شامل گرافن و طلا به کمک تکنیک‌های ولتا مترا چرخه‌ای و پالس تفاضلی بود.

## ۲- مواد و روش‌ها

### ۱-۲- دستگاه‌ها

کلیه بررسی‌های الکتروشیمیابی با استفاده از دستگاه

امروزه مصرف بیش از حد داورها در دامها که با اهدافی همچون درمان، پیشگیری و کنترل بیماری‌های مختلف انجام می‌شود، خطرات جبران‌ناپذیری متوجه مصرف‌کننده نهایی می‌کند.<sup>[۱]</sup> یکی از رایج‌ترین داروها آنتی‌بیوتیک‌ها هستند که اگر مقدار مصرفی آن‌ها بیش از حد مجاز باشد منجر به ماندن بقایای آنتی‌بیوتیکی در گوشت، شیر و تخمرغ می‌شود. مواد غذایی آلوهه با آنتی‌بیوتیک از جمله تتراسایکلین‌ها، تهدیدی جدی برای سلامت مصرف‌کننده محسوب می‌شوند و حتی در برخی موارد منجر به افزایش مقاومت باکتریایی عمومی در بدن انسان می‌شوند.<sup>[۲]</sup> به منظور جلوگیری از اثرات منفی آنتی‌بیوتیک‌ها، اکثر کشورها حداکثر میزان باقی‌مانده (MRLs) را مشخص کرده‌اند. اتحادیه اروپا MRLs را برای برخی آنتی‌بیوتیک‌ها مشخص نموده است. به عنوان مثال MRL برای پنی‌سیلین در شیر ۴ میکروگرم بر کیلوگرم گزارش شده است.<sup>[۳]</sup>

برای تعیین میزان باقی‌مانده آنتی‌بیوتیک‌ها در مواد غذایی روش‌های مختلفی وجود دارد. بیشتر روش‌های مورد استفاده آزمایش‌های بازدارنده میکروبی هستند که تحت عنوان آزمایش‌های غربالگری معروفند. این روش‌ها شامل رشد باکتری‌های مانند *بازیلوس استئاروترموفیلوس* (*stearothermophilus*) است که در صورت وجود آنتی‌بیوتیک در شیر، رشد آن کم و یا متوقف می‌شود.<sup>[۴]</sup> انجام آزمایش‌های بازدارنده باکتریایی زمان‌بر بوده و توجیه اقتصادی ندارد. از دیگر روش‌های شناسایی آنتی‌بیوتیک‌ها، می‌توان به کروماتوگرافی مایع، کروماتوگرافی گازی، کروماتوگرافی مایع با کارایی بالا و اسپکترومتری جرمی اشاره نمود.<sup>[۵]</sup> اگرچه این روش‌ها دقیق هستند اما نیازمند تجهیزات حجمی و گران‌قیمت، آماده‌سازی پیچیده نمونه، کاربر متخصص و گرمانه‌گذاری طولانی مدت هستند.<sup>[۶]</sup>

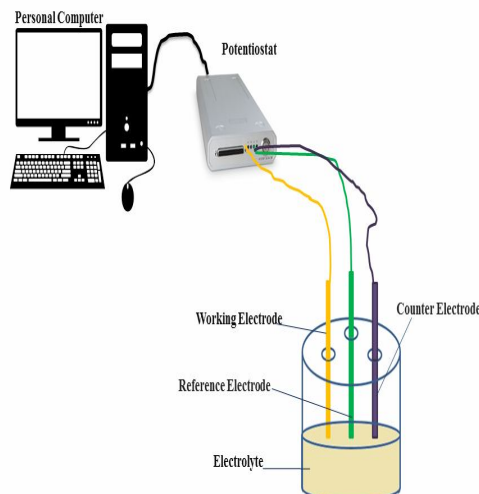
اندازه‌گیری میزان باقی‌مانده آنتی‌بیوتیک‌ها در مراحل مختلف تولید و فرآوری مواد غذایی، نیازمند توسعه یک روش سریع، اختصاصی است که کنترل بهتر و کاهش رسیک در مصرف‌کنندگان را دربر داشته باشد. یکی از روش‌هایی که محدودیت روش‌های اشاره شده در بالا را ندارد، آپتاخسگر اختصاصی جهت شناسایی آنتی‌بیوتیک‌ها است.<sup>[۷]</sup> آپتاخسگرها در واقع حسگرهای مبتنی بر آپتامر (تک رشته

منظور کامل کردن واکنش حدود ۵ میلی لیتر محلول آب اکسیژنه ۳۳ درصد حجمی به مخلوط تهیه شده افزوده شد. ترکیب سنتز شده تا این مرحله گرافن اکسید می‌باشد که باید تا pH خنثی شسته شود. به منظور خالص‌سازی از روش استخراج حلال و ضد حلال استفاده گردید. گرافن اکسید را در متانول پخش کرده سپس با افزایش دی‌اتیل اتر، گرافن اکسید تهیشین و خالص‌سازی شد. سپس ۴۸ ساعت در دمای اتاق خشک شد. با توجه به اینکه احیای گرافن اکسید رسانایی بهتری نسبت به گرافن اکسید دارد، بنابراین ۱۰۰ میلی لیتر از سوپسپانسیون گرافن اکسید (۲/۵ میلی گرم بر میلی لیتر) در آب تهیه شد. سپس سوپسپانسیون گرافن اکسید در حمام یخ قرار داده شد و ۱۲/۵ گرم سدیم بورهیدرات ( $\text{NaBH}_4$ ) در ۵۰ میلی لیتر در آب سرد تهیه شد (با نسبت وزنی ۵ برابر گرافن اکسید) و قطره قطره به سوپسپانسیون گرافن اکسید اضافه شد (در شرایط حمام یخ) تا گرافن اکسید احیا شده بدست آید.

### ۳-۲-ساخت آپتاخسگر

ابتدا الکترود کاری با استفاده از تکنیک ولتاوتمتری چرخه‌ای فعال شد. برای این منظور پتانسیل +۱/۵ ولت در نرخ‌های رویش مختلف (۱، ۱۰، ۵، ۱۵، ۲۰، ۳۰، ۴۰، ۵۰، ۱۰۰، ۲۰۰ و ۳۰۰ میلی ولت بر ثانیه) به سطح الکترود مغز مداد گرافیتی اعمال شد. پس از انتخاب نرخ رویش پتانسیل (با مقایسه جریان)، بهینه‌سازی تعداد سیکل‌های مختلف (۱۰، ۵، ۱۵، ۲۰ و ۲۵) در محلول سدیم هیدروکسید (۱ مولار) انجام شد. الکترود کاری (به طول ۳ میلی‌متر) با نرخ رویش و تعداد سیکل بهینه برای زمان‌های مختلف (۳۰، ۶۰، ۹۰، ۱۲۰ و ۱۵۰ دقیقه) در محلول گرافن اکسید احیا شده در دمای اتاق قرار داده شد. سپس الکترود کاری در محلول بافر فسفات ۱/۰ مولار قرار داده شد و تکنیک ولتاوتمتری چرخه‌ای در محدوده پتانسیل -۰/۱ - +۰/۷ ولت (۱۰ سیکل) بر روی آن اعمال شد. بعد از تثبیت گرافن اکسید احیا شده بر روی سطح الکترود اصلاح شده در شرایط بهینه، نانو ذرات طلا بر روی الکترود کاری اصلاح شده با روش ولتاوتمتری چرخه‌ای در محدوده پتانسیل -۰/۵ - +۱/۵ ولت، نرخ رویش ۵ میلی ولت بر ثانیه در محلول ۳ میلی مولار محلول نمک طلا ( $\text{HAuCl}_4 \cdot 3\text{H}_2\text{O}$ ) قرار گرفت. سپس

(Potentiostat/Galvanostat) ساخت شرکت ایویوم (Ivium) هلند، مدل Vertex 1 انجام شد که از یک طرف با سیستم سه الکترودی و از طرف دیگر با کامپیوتر ارتباط داشت (شکل ۱). ولتاگرام (جریان بر حسب ولتاژ) الکترود کاری در مراحل مختلف ساخت توسط رایانه ثبت شد. سیستم سه الکترودی شامل الکترود مغز مداد گرافیتی (با قطر ۷/۰ میلی‌متر) به عنوان الکترود کاری، الکترود نقره/نقره کلرید به عنوان الکترود مرجع و پلاتین (به طول ۳ میلی‌متر) به عنوان الکترود کمکی استفاده شد که در سل حاوی ۵ میلی-مولار فری-فروسیانید حاوی ۰/۱۰ مولار پتانسیم کلرید به عنوان الکترولیت قرار داده شد. تمامی آزمایش‌ها در دمای اتاق انجام شد.



**Fig 1** Schematic of the measurement system

### ۴-۲-روش سنتز گرافن

یک گرم پودر گرافیت (با اندازه ذرات ۷۰ میکرون و درجه خلوص ۹۹/۹۹٪) به مخلوط نیتریک اسید/سولفوریک اسید غلیظ با نسبت (۶:۱ حجمی) افزوده و در حمام یخ قرار داده شد. سپس عامل اکسیده (در اینروش  $\text{KMnO}_4$  با نسبت وزنی ۶ برابر پودر گرافیت) در حالی که مخلوط گرافیت/اسید هم زده می‌شد به تدریج طی ۱۰ مرتبه با فاصله زمانی ۱۵ دقیقه افروده شد، بعد از اتمام افزوده کردن پتانسیم پرمنگنات، مخلوط یک ساعت در دمای حمام یخ و ۳ ساعت در دمای محیط به هم خورد. ۲۰۰ میلی‌لیتر هیدروکلریک اسید (HCl) ۱۰ درصد تهیه و به کمک حمام یخ سرد کرده سپس مخلوط گرافیت/اسید به آن افزوده شد و مخلوط یک ساعت دیگر به هم خورد. به

نشده جدا شوند. برای آماده سازی نمونه های شیر، ابتدا شیر در محلول بافر با نسبت حجمی ۱:۱۰ رقیق شد. با توجه به اینکه شیر حاوی چربی، کربوهیدرات و پروتئین است برای حذف لایه های اضافی در ۳۰۰۰۰ دور بر دقیقه به مدت ۶۰ دقیقه سانتریفیوژ شد. سپس بعد از تشکیل سه لایه، لایه میانی که شیر خالص بود برای انجام آزمایش های بعدی در دمای ۲۰-۲۰ درجه سلسیوس نگهداری شد. برای تزریق غلظت های مختلف تراسایکلین در نمونه های شیر، از تکنیک ولتامتری پالس تفاضلی استفاده شد.

## ۶-۲- تکنیک های الکتروشیمی مورد استفاده

ولتامتری چرخه ای: به منظور اعمال اختلاف پتانسیل بین الکترودهای کاری و مرجع از روش ولتامتری چرخه ای استفاده شد. یکی از انواع روش های اندازه گیری الکتروشیمیابی پتانسیو دینامیک می باشد. در تکنیک ولتامتری چرخه ای، پتانسیل الکترود کاری به صورت خطی با زمان تغییر می کند. برخلاف ولتامتری روپش خطی، بعد از رسیدن به یک پتانسیل تعیین شده، پتانسیل الکترود کاری در جهت عکس تغییر می کند تا به پتانسیل اولیه بازگردد. این چرخه های تغییر پتانسیل می توانند به تعداد دلخواه تکرار شوند. جریان ایجاد شده در الکترود کاری بر حسب ولتاژ (پتانسیل الکترود مرجع) رسم می شود تا نمودار ولتامتری چرخه ای به دست آید. در پژوهش حاضر تکنیک ولتامتری چرخه ای حاوی ۵ میلی مولار فری- فروسیانید حاوی ۰/۱۰ مولار پتانسیم کلرید انجام شد.

ولتامتری پالس تفاضلی: تکنیک ولتامتری پالس تفاضلی یکی از روش های آمپرومتریک می باشد. در روش ولتامتری پالس تفاضلی پتانسیل به صورت پالس هایی با دامنه ثابت بر رویک پتانسیل روپشی فراینده اعمال می شود. جریان برای هر پالس در دو مرحله، قبل از اعمال پتانسیل و در انتهای عمر پالس اعمال شده و نمودار تفاضل این دو جریان بر حسب پتانسیل رسم می گردد. نمودار حاصل به صورت پیک می باشد. این روش به دلیل حذف جریان زمینه طی عمل تفاضل و پیک شکل بودن نمودار حد تشخیص پایین و حساسیت بالای دارد [۱۷].

الکترود کاری با دیونیزه شسته شد. بعد از تثبیت نانو ذرات طلا بر روی سطح الکترود اصلاح شده با گرافن، در محلول ۰/۱ مولار از  $\text{KNO}_3$  (محدوده پتانسیل -۰/۵ تا +۱/۵ ولت) تکنیک ولتامتری چرخه ای اعمال شد.

به منظور استقرار آپتامر بر روی سطح الکترود اصلاح شده با گرافن اکسید احیا شده و نانو ذرات طلا، لازم بود تا غلظت و زمان تثبیت آپتامر بهینه شوند. بعد انتخاب غلظت و زمان آپتامر بهینه بر روی سطح الکترود، آنالیت (تراسایکلین) بر روی الکترود کاری تثبیت شد.

## ۶-۴- تثبیت آپتامر بر روی الکترود اصلاح شده

### با گرافن و نانو ذرات طلا

به منظور تثبیت آپتامر از توالی اختصاصی تراسایکلین (SH-CCC CCG GCA GGC CAC GGC TTG GGT TGG TCC CAC TGC GCG-3') خالص سازی HPLC، چگالی نوری ۱۳/۷ که توسط شرکت Microsynth AG(Balgach, Switzerland) سنتز شده بود، استفاده شد. توالی تراسایکلین در آب دیونیزه رقیق شد و سپس در دمای ۲۰- درجه سلسیوس ذخیره شد. برای شکستن پیوندهای دی سولفیدی آپتامر، DTT با نسبت حجمی ۱:۵ به مدت ۱۵ دقیقه در دمای اتاق به آن اضافه شد. برای حذف DTT، اتیل استات با نسبت حجمی برابر با آپتامر به محلول اضافه شد. پس از سانتریفیوژ لایه بالایی حذف شد. غلظت ۲۵ میکرومولار و زمان ۶۰ دقیقه آپتامر بر روی الکترود تثبیت شد. بعد از تثبیت آپتامر، الکترود اصلاح شده با گرافن و نانو ذرات طلا برای مدت ۶۰ دقیقه در محلول تراسایکلین قرار گرفت.

## ۶-۵- آماده سازی نمونه های حقیقی

به منظور ارزیابی آپتاخسگر در شناسایی دقیق تراسایکلین، از سایر آنتی بیوتیک ها مانند استرپتومایسین، پنی سیلین و سولفادیازینیز استفاده شد. برای این هدف آپتاخسگر ساخته شده در محلول ۰/۹ درصد  $\text{NaCl}$  به مدت ۹۰ دقیقه (زمان بهینه) به عنوان نمونه شاهد قرار داده شد. سپس الکترود به آرامی با آب دیونیزه شسته شد تا آنتی بیوتیک های جذب

### ۲-۳- بهینه‌سازی تعداد سیکل

پس از انتخاب نرخ رویش بهینه، تعداد سیکل‌های مربوط به اعمال روش ولتاوتری چرخه با تست تعداد سیکل‌های مختلف (۵، ۱۰، ۱۵، ۲۰ و ۲۵) بهینه شد. روش اندازه‌گیری اختلاف جریان مشابه بخش بهینه‌سازی نرخ رویش بود. میانگین اختلاف جریان مربوط به ۴ الکترود با نرخ رویش ۴۰ میلی ولت بر ثانیه، در شکل ۳ آورده شده است. همان طور که قابل استنباط است پس اعمال ۱۰ سیکل بر روی الکترودها، اختلاف جریان بیشتری در مقایسه با سایر تعداد سیکل‌ها مشاهده شد؛ بنابراین تعداد ۱۰ سیکل به عنوان پارامتر بهینه برای آزمایش‌های بعدی مورد استفاده قرار گرفت.

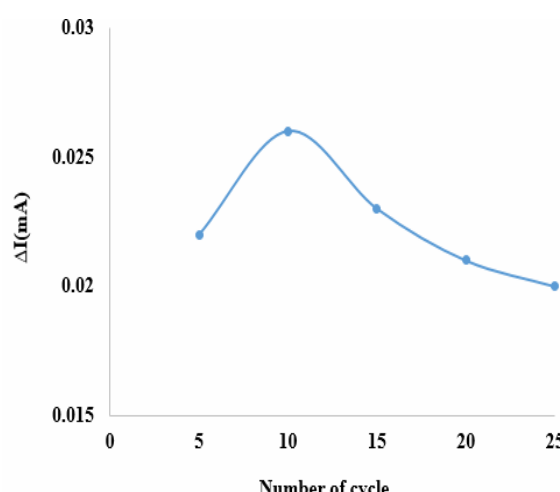


Fig. 3. The effect of cycle number on  $\Delta I$ .

### ۳-۳- بهینه‌سازی مدت ثبیت گرافن اکسید

#### احیا شده

بعد از آماده سازی الکترود اصلاح شده در محلول سدیم هیدروکسید در شرایط بهینه (نرخ رویش ۴۰ mV/s با ۱۰ سیکل)، زمان ثبیت گرافن اکسید احیا شده بر روی الکترود کاری اصلاح شده بهینه شد. برای این منظور الکترود در زمان‌های ۳۰، ۶۰، ۹۰، ۱۲۰ و ۱۵۰ دقیقه در محلول حاوی گرافن اکسید احیا شده قرار گرفت سپس جریان در دو مرحله شامل بعد از اصلاح در محلول سدیم هیدروکسید و بعد از قرار گرفتن در محلول گرافن اکسید با استفاده از روش

### ۳- نتایج و بحث

#### ۱-۳- بهینه‌سازی نرخ رویش

به منظور انتخاب نرخ رویش بهینه برای اعمال پتانسیل بر روی الکترود اصلاح نشده، نرخ رویش‌های مختلف (۱، ۵، ۱۰، ۱۵، ۲۰، ۳۰، ۴۰، ۵۰، ۱۰۰، ۲۰۰ و ۳۰۰ میلی ولت بر ثانیه) بررسی شدند. تعداد ۴ الکترود کاری، در شرایط یکسان برای هر نرخ رویش آماده شد. تکنیک ولتاوتری در محلول ۵ میلی مولار فری- فروسیانید حاوی  $10\text{ }\mu\text{M}$  مولار پتانسیم کلرید برای الکترود اصلاح نشده و اصلاح شده با نرخ رویش‌های مختلف انجام شد و پیک جریان در ولتاگرام ثبت شد. از اختلاف جریان بین الکترود اصلاح نشده و الکترود اصلاح شده در نرخ رویش مختلف برای انتخاب نرخ رویش بهینه استفاده شد. مطابق شکل ۲، با افزایش نرخ رویش تا ۴۰ میلی ولت بر ثانیه، اختلاف جریان روند افزایشی داشته و در ۴۰ میلی ولت بر ثانیه بیشترین مقدار اختلاف جریان مشاهده شد. با افزایش نرخ رویش تا ۳۰۰ میلی ولت بر ثانیه اختلاف جریان روند نزولی داشت. با توجه به اینکه ۴۰ میلی ولت بر ثانیه بیشترین اختلاف جریان را داشتبه عنوان نرخ رویش بهینه انتخاب گردید و تمامی آپاتاحسگرهای مورد استفاده با ۴۰ میلی ولت بر ثانیه اصلاح شدند.

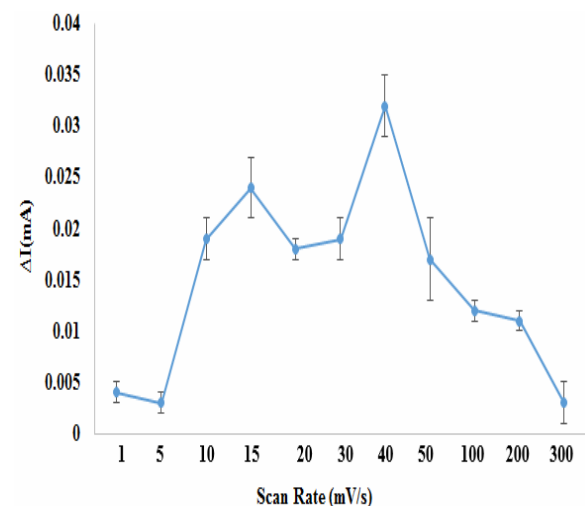


Fig 2 The influence of different scan rates on  $\Delta I$ .

نانو ذرات طلا رسانا شد. در مراحل بعدی آپتامر و آنالیت (آنٹی بیوتیک) بر روی سطح الکترود قرار می‌گیرند که در ادامه شرح داده شده است.

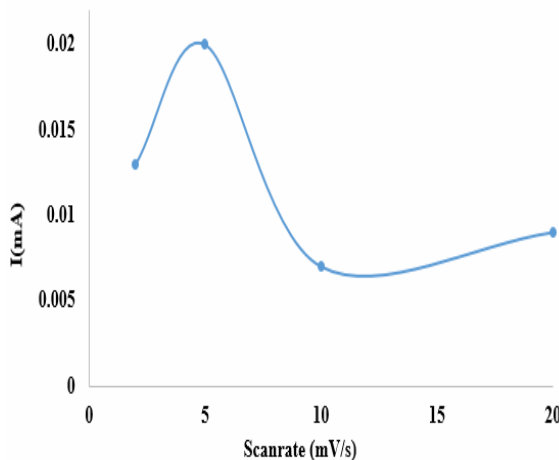


Fig 5 The effect of different scan rate on current.

### ۳-۵- ارزیابی آپتاخسگر با استفاده از تکنیک‌های الکتروشیمیایی

به منظور ارزیابی آپتاخسگر ساخته شده از تکنیک ولتاوی چرخه‌ای استفاده شد. در شکل ۶، رفتار الکترودهای اصلاح شده در مراحل مختلف، در محلول حاوی ۵ میلی مولار فربنوفوسینید با  $0/10$  مولار پتاسیم کلرید، با نرخ روبش  $50\text{mV/s}$  نشان داده شده است. اصلاح سطح گرافیتی الکترود با گرافن اکسید احیا شده (RGO) و نانو ذرات طلا (AuNPs)، باعث افزایش فرایند انتقال الکترون و در نتیجه افزایش جریان در مقایسه با الکترود اصلاح نشده (Bare) شد. افزایش جریان نانو ذرات طلا در مقایسه با گرافن اکسید احیا شده را می‌توان با توجه هدایت الکتریکی عالی طلا و افزایش سطوح فعال بیشتر در سطح الکترود توجیه نمود [۱۶]. با ثبیت آپتامر (Aptamer) و تتراسایکلین (TET) بر روی سطح الکترود، پیک جریان نسبت به الکترود اصلاح نشده کاهش یافت. این امر را می‌توان به دافعه الکترواستاتیک بین پروفیل آهن  $(\text{Fe}(\text{CN})_6)^{4-3-}$  و آپتامر که هر دو دارای بار منفی هستند، نسبت داد [۱۸].

ولتاوی چرخه‌ای ثبت شد. با افزایش زمان تا  $90$  دقیقه اختلاف جریان افزایش یافت بعد از  $90$  دقیقه تقریباً روند اختلاف جریان روند کاهشی مشاهده شد (شکل ۴). دلیل افزایش جریان تا  $90$  دقیقه می‌تواند به دلیل اشباع شدن سطح الکترود باشد. با توجه به نتایج به دست آمده زمان  $90$  دقیقه به عنوان زمان بهینه برای ثبیت گرافن اکسید احیا شده در نظر گرفته شد.

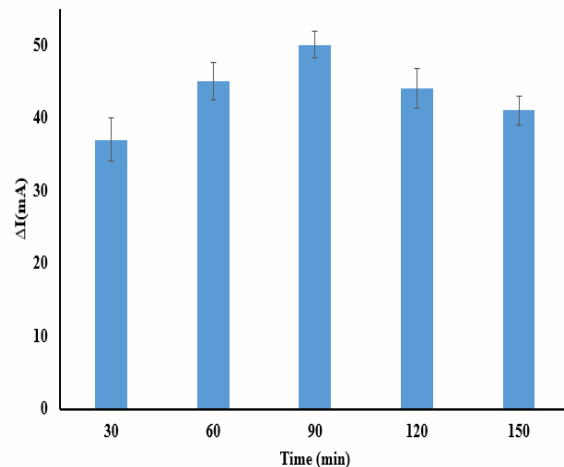


Fig 4 The effect of different immobilization times on  $\Delta I$  (mean of three measurements with standard deviation).

### ۳-۴- ثبیت نانو ذرات طلا

بعد اصلاح سطح الکترود مغز مداد گرافیتی و ثبیت گرافن اکسید احیا شده در شرایط بهینه که در بخش‌های قبل ذکر شد، نانو ذرات طلا بر روی سطح الکترود ثبیت شد. ثبیت نانو ذرات طلا ابتدا در نرخ روبش‌های مختلف ( $2, 5, 10, 20$  و  $50$  میلی ولت بر ثانیه) انجام شد. سپس در محلول  $0/10$  مولار پتاسیم نیترات به منظور حذف نانو ذرات اضافی، تکنیک ولتاوی چرخه‌ای بر روی سطح الکترود اعمال شد. علاوه بر این، استفاده از پتاسیم نیترات برای خشک کردن بار الکتریکی طلا است تا بتواند از طریق پیوندهای دی سولفیدی آپتامر که بار منفی دارد را جذب سطح الکترود کند. همان طور که در شکل ۵ قابل مشاهده است استفاده از نرخ روبش  $5$  میلی ولت بر ثانیه جریان را به طور قابل توجهی افزایش داد. تا این مرحله بستر گرافیتی به خوبی با استفاده از گرافن اکسید احیا شده و

با استفاده از تکنیک ولتاوگرامی پالس تفاضلی، منحنی کالیبراسیون ترسیم شد. محور عمودی تغییر جریان بین آپتامر و تتراسایکلین، و محور افقی لگاریتم غلظت های مختلف تتراسایکلین را نشان می دهد. منحنی کالیبراسیون آپتاخسگر رنج خطی  $1 \times 10^{-13}$  تا  $1 \times 10^{-5}$  مولار را نشان داد (شکل ۸).

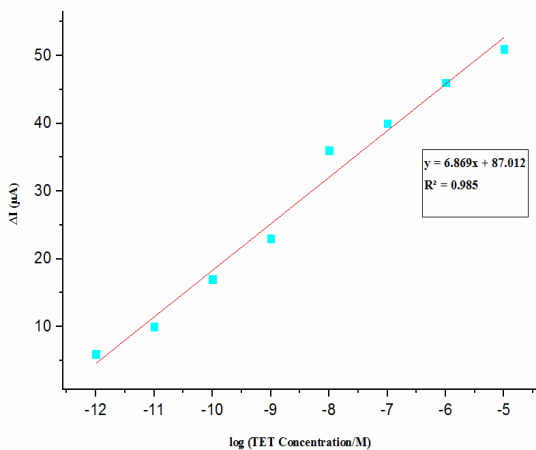
همچنین معادله رگرسیونی از رابطه ۱ تبعیت نمود:

$$y = 6.869x + 87.012, R^2 = 0.985 \quad \text{رابطه (۱)}$$

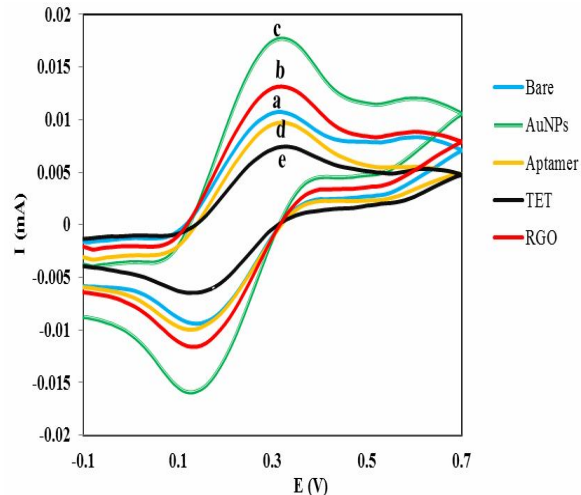
که در آن،  $x$  لگاریتم غلظت تتراسایکلین،  $y$  تغییرات جریان است. حد تشخیص کمی به عنوان حساسیت حسگر تعریف می شود و بیانگر کمترین مقدار قابل اندازه گیری توسط حسگر است. برای محاسبه حد تشخیص کمی از رابطه ۲ استفاده شد:

$$\text{LOD} = 3S_b/m \quad \text{رابطه (۲)}$$

در رابطه ۲، حد تشخیص کمی،  $S_b$  انحراف استاندارد نمونه شاهد (بدون حضور تتراسایکلین) و  $m$  شیب منحنی کالیبراسیون در محدوده خطی است. بر اساس رابطه ۲، حد تشخیص کمی  $1/4 \times 10^{-13}$  مولار بدست آمد. در جدول ۱، عملکرد آپتاخسگر پژوهش حاضر با سایر نتایج محققان مورد مقایسه قرار گرفته است. همانطور که مشاهده می گردد تاکنون از الکترود مداد گرافیتی برای شناسایی تتراسایکلین استفاده نشده است، همچنین سایر الکترودهای کاری در مقایسه با الکترود مداد گرافیتی محدوده خطی محدودتر و حد تشخیص بالاتری دارند.

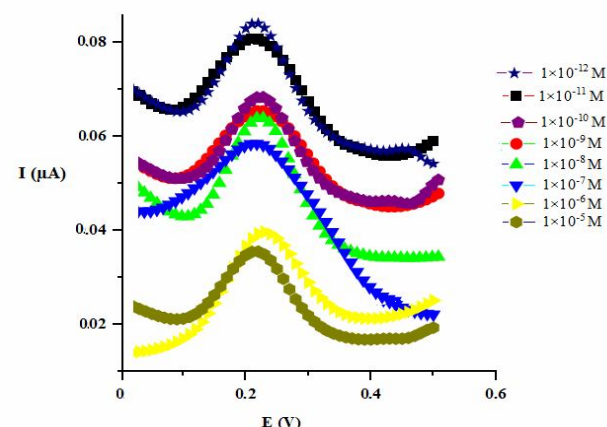


**Fig 8** calibration plot ,  $\Delta I$  vs Log concentration of TET for different concentration,  $1.0 \times 10^{-12}$ ,  $1.0 \times 10^{-11}$ ,  $1.0 \times 10^{-10}$ ,  $1.0 \times 10^{-9}$ ,  $1.0 \times 10^{-8}$ ,  $1.0 \times 10^{-7}$ ,  $1.0 \times 10^{-6}$  and  $1.0 \times 10^{-5}$  M. In  $5.0 \text{ mM Fe(CN)}_6^{4-3-}$  containing  $0.1 \text{ M KCl}$  solution.



**Fig 6** The cycle voltammograms of different modified electrodes in  $5.0 \text{ mM Fe(CN)}_6^{4-3-}$  containing  $0.1 \text{ M KCl}$ , potential range of -0.1 to 0.70 V with scan rate of  $50 \text{ mV s}^{-1}$ : (a) bare PGE, (b) RGO (c) AuNP/ (d) Aptamer, and ( e ) TET

به منظور ارزیابی آپتاخسگر، از تکنیک ولتاوگرامی پالس تفاضلی استفاده شد. غلظت های مختلفی از تتراسایکلین تهیه شد و کارایی آپتاخسگر با رسم منحنی کالیبراسیون (جریان بر حسب غلظت) بررسی شد. همان طور که در شکل ۷ نشان داده شده است با افزایش غلظت تتراسایکلین پیک جریان فری- فروسیانید کاهش یافته است. دلیل کاهش پیک جریان با افزایش غلظت تتراسایکلین به این دلیل است که در حضور تتراسایکلین یون ها خیلی سخت می توانند بر روی سطح الکترود قرار بگیرند [۱۵].



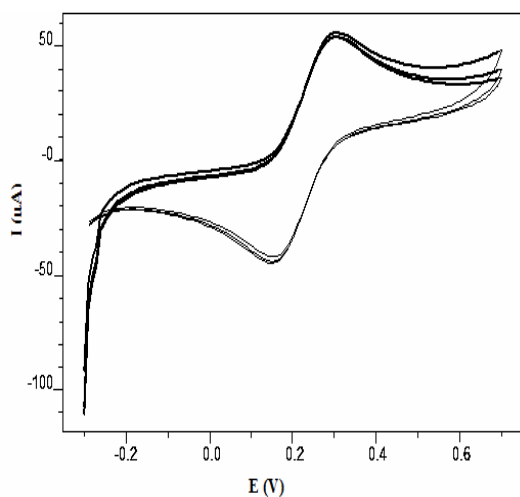
**Fig 7** Differential pulse voltammograms recorded for aptasensor in the presence of different concentrations of TET ( $1 \times 10^{-12}$ - $1 \times 10^{-5}$  M (mol. L<sup>-1</sup>)).

**Table 1** Comparison of the performance of different working electrodes for determination of TET

Working electrode	Method	Dynamic range (M)	LOD (M)	Reference
GCE	DPV <sup>a</sup>	$1 \times 10^{-9}$ - $1 \times 10^{-7}$	$1.0 \times 10^{-9}$	[18]
GCE	EIS	$5 \times 10^{-9}$ - $5 \times 10^{-6}$	$1.0 \times 10^{-9}$	[12]
GE	DPV	$1.5 \times 10^{-9}$ - $3.5 \times 10^{-6}$	$0.45 \times 10^{-9}$	[19]
GE	EIS	$2 \times 10^{-8}$ - $2250 \times 10^{-6}$	$6.75 \times 10^{-9}$	[20]
GE	DPV	$1 \times 10^{-8}$ - $5 \times 10^{-5}$	$5 \times 10^{-9}$	[11]
GE	EIS	$2.25 \times 10^{-8}$ - $6.75 \times 10^{-6}$	$2.5 \times 10^{-9}$	[21]
SPCE	DPV	$1 \times 10^{-6}$ - $5 \times 10^{-6}$	$6 \times 10^{-10}$	[13]
GCE	DPV	$1 \times 10^{-10}$ - $5 \times 10^{-3}$	$5.6 \times 10^{-12}$	[22]
PGE	DPV	$1 \times 10^{-12}$ - $1 \times 10^{-5}$	$1.4 \times 10^{-13}$	This work

**GCE:** glassy carbon electrode, **DPV:** differential pulse voltammetry, **EIS:** electrochemical impedance spectroscopy, **GE:** gold electrode, **SPCE:** screen-printed carbon electrodes, **PGE:** pencil graphite electrode

زیست حسگر بعد از گذشت دو هفته ۳ درصد کاهش یافته است.



**Fig. 9.** Repeatability of the aptesensor for three measurements (cycle voltogram).

### ۷-۳- آزمون نمونه‌های حقیقی

کاربرد عملیاتی آپتاخسگر ساخته شده از طریق شناسایی تتراسایکلین در محیط شیر مورد ارزیابی قرار گرفت. ابتدا آپتاخسگر در شرایط بهینه ساخته شد و برای مدت ۹۰ دقیقه در داخل ۱۰ میکرو لیتر از شیر حاوی آنتی بیوتیک با غلظت مشخص قرار گرفت. درصد بازیابی با استفاده از رابطه ۳ برای نمونه‌های شیر محاسبه شد:

$$\text{Recovery\%} = \left( \frac{C_{\text{found}}}{C_{\text{spike}}} \right) \times 100$$

در رابطه ۳،  $C_{\text{found}}$  بیانگر غلظت شناسایی شده توسط آپتاخسگر و  $C_{\text{spike}}$  غلظت تزریق شده به نمونه‌های شیر است. همان طور که در جدول ۲ آورده شده است درصد بازیابی برای نمونه‌های شیر در دو غلظت برای دو نمونه شیر گاو ۹۲/۸ تا ۹۸/۴ درصد به دست آمد که حاکی از درصد بازیابی قابل قبول برای آپتاخسگر ساخته شده دارد.

### ۶-۳- ارزیابی ارقام شایستگی آپتاخسگر

به منظور ارزیابی ارقام شایستگی (Figure of merit) آپتاخسگر، تکراری پذیری، تکثیر پذیری، انتخاب پذیری و پایداری مورد بررسی قرار گرفتند. تکراری پذیری آپتاخسگر با اندازه‌گیری مکرر در سه مرتبه با استفاده از تکنیک ولتاوتمتری چرخه‌ای ثبت شد. همان طور که در شکل ۹ نشان داده شده است پیک‌های مربوط به سه مرتبه اندازه‌گیری همپوشانی نزدیکی به هم دارند و آپتاخسگر از تکرارپذیری قابل قبولی برخوردار است. به منظور بررسی تکثیر پذیری آپتاخسگر، تعداد پنج زیست حسگر مستقل در شرایط یکسان ساخته شد و پیک جریان آنها با تکنیک ولتاوتمتری چرخه‌ای در محلول ۵ میلی مولار فری- فروسیانید حاوی ۰/۱ مولار پتاسیم کلرید ارزیابی شد. نتایج نشان داد که انحراف استاندارد نسبی پیک‌های جریان ۳/۲ درصد می‌باشد که نشان از تکثیر پذیری بالای آپتاخسگر است. بررسی انتخاب پذیری آپتاخسگر به منظور بررسی اثرات مداخله گر و مزاحم در شناسایی تتراسایکلین صورت پذیرفت. برای این هدف سه نوع آنتی-بیوتیک دیگر شامل استریتوپامایسین، پنی سیلین و سولفادیازین با استفاده از آپتاخسگر ساخته شده آزمونشده. همان‌طور که انتظار می‌رفت با توجه به اینکه آپتامر اختصاصی مربوط به تتراسایکلین بر روی الکترود اصلاح شده با RGO و AuNPs ثابت شده بود، پاسخ آپتاخسگر به سایر آنتی بیوتیک‌ها، قابل توجه نبود که میان انتخاب پذیر بودن آپتاخسگر نسبت به آنتی بیوتیک تتراسایکلین می‌باشد. به منظور ارزیابی پایداری آپتاخسگر ابتدا سه زیست حسگر در شرایط بهینه و یکسان در دمای محیط ساخته شد. سپس به مدت دو هفته پاسخ آپتاخسگر به فاصله زمانی هر سه روز یک بار ثبت شد و با پاسخ روز اول مقایسه شد. نتایج نشان داد که پاسخ

**Table 2** Determination of TET in cow milk samples using the amperometric aptasensor.

RSD <sup>b</sup> (%)	Recovery (%)	found <sup>a</sup> (M)	Spiked value (M)	Sample
6.5	94.2	$(0.942 \pm 0.057) \times 10^{-9}$	$1 \times 10^{-9}$	Milk 1
6.3	96.1	$(0.961 \pm 0.061) \times 10^{-11}$	$1 \times 10^{-11}$	
7.6	92.8	$(0.928 \pm 0.071) \times 10^{-9}$	$1 \times 10^{-9}$	Milk 2
4.3	98.4	$(0.984 \pm 0.042) \times 10^{-11}$	$1 \times 10^{-11}$	

<sup>a</sup> Average of three measurements  $\pm$  standard deviation. <sup>b</sup> relative standard deviation

- [5] Ezhilan M. Gumpu M.B. Ramachandra B.L. Nesakumar N. Babu K.J. Krishnan U.M. and Rayappan J.B.B. (2017). Design and development of electrochemical biosensor for the simultaneous detection of melamine and urea in adulterated milk samples. Sensors and Actuators B: Chemical 238: 1283-1292.
- [6] Xu M. Wang R. and Li Y. (2017). Electrochemical biosensors for rapid detection of Escherichia coli O157: H7. Talanta, 162, 511-522.
- [7] Pacheco J.G. Barroso M.F. Nouws H.P.A. Morais S. and Delerue-Matos C. (2017). 21-Biosensors A2-Larroche. In: Maria A.S. et al. (eds.) Current Developments in Biotechnology and Bioengineering. pp. 627-648.
- [8] Bahreyni, A., Tahmasebi, S., Ramezani, M., Aliboland, M., Danesh, N. M., Abnous, K., & Taghdisi, S. M. (2019). A novel fluorescent aptasensor for sensitive detection of PDGF-BB protein based on a split complementary strand of aptamer and magnetic beads. Sensors and Actuators B: Chemical, 280, 10-15.
- [9] Song, Y., Luo, Y., Zhu, C., Li, H., Du, D., & Lin, Y. (2016). Recent advances in electrochemical biosensors based on graphene two-dimensional nanomaterials. Biosensors and Bioelectronics, 76, 195-212.
- [10] Tian, L., Qian, K., Qi, J., Liu, Q., Yao, C., Song, W., & Wang, Y. (2018). Gold nanoparticles superlattices assembly for electrochemical biosensor detection of microRNA-21. Biosensors and Bioelectronics, 99, 564-570.
- [11] Zhou, L., Li, D. J., Gai, L., Wang, J. P., & Li, Y. B. (2012). Electrochemical aptasensor for the detection of tetracycline with multi-walled carbon nanotubes amplification. Sensors and Actuators B: Chemical, 162(1), 201-208.
- [12] Chen, D., Yao, D., Xie, C., & Liu, D.

#### ۴-نتیجه‌گیری

در مطالعه حاضر، یک آپتاخسگر مبتنی بر الکترود مداد گرافیتی که سطح آن گرافن اکسید احیا شده و نانوذرات طلا اصلاح شده بود، برای تشخیص باقیمانده آنتی‌بیوتیک تراسایکلین در شیر معرفی شد. آپتاخسگرها در مقایسه با سایر روش‌های شناسایی مرسوم آنتی‌بیوتیک‌ها از جمله کیت‌های تشخیصی و روش‌های میکروبی، سریع و ارزان قیمت بوده، و حد تشخیص پایین آنتی‌بیوتیک را دارا هستند. با استفاده از تکنیک‌های ولتاژمتری چرخه‌ای و ولتاژمتری پالس تفاضلی پیک‌های جریان آپتاخسگر مورد ارزیابی قرار گرفت. نتایج نشان داد که آپتاخسگر تکراری‌پذیری و تکثیرپذیری و پایداری قابل قبولی دارد. همچنین در حضور سایر آنتی‌بیوتیک‌ها، آپتاخسگر پیشنهاد شده توانایی انتخاب پذیری بالایی برای تشخیص تراسایکلین دارد.

#### ۵- منابع

- [1] Berruga M.I. Molina A. Althaus R.L. and Molina M.P. (2016). Control and prevention of antibiotic residues and contaminants in sheep and goat's milk. Small Ruminant Research 142: 38-43.
- [2] Leibovici L. Paul M. Garner P. Sinclair D.J. Afshari A. Pace N.L. and Del Mar C. (2016). Addressing resistance to antibiotics in systematic reviews of antibiotic interventions. Journal of Antimicrobial Chemotherapy 71: 2367-2369.
- [3] Hou, J., Zhang, H., Yang, Q., Li, M., Jiang, L., & Song, Y. (2015). Hydrophilic-Hydrophobic Patterned Molecularly Imprinted Photonic Crystal Sensors for High-Sensitive Colorimetric Detection of Tetracycline. Small, 11(23), 2738-2742.
- [4] Lan L. Yao Y. Ping J. and Ying Y. (2017). Recent advances in nanomaterial-based biosensors for antibiotics detection. Biosensors and Bioelectronics 91: 504-514.

- and Fe<sub>3</sub>O<sub>4</sub> nanoparticles. *Sensors and Actuators B: Chemical*, 239, 421-429.
- [18] Zhang, Juankun, Binbin Zhang, Yan Wu, Shiru Jia, Ting Fan, Ziyi Zhang, and Chaozheng Zhang. (2010). Fast determination of the tetracyclines in milk samples by the aptamer biosensor. *Analyst* 135, no. 10 2706-2710.
- [19] Taghdisi, S. M., Danesh, N. M., Ramezani, M., & Abnous, K. (2016). A novel M-shape electrochemical aptasensor for ultrasensitive detection of tetracyclines. *Biosensors and Bioelectronics*, 85, 509-514.
- [20] Xu, Q. C., Zhang, Q. Q., Sun, X., Guo, Y. M., & Wang, X. Y. (2016). Aptasensors modified by antimony tin oxide nanoparticle-chitosan based on interdigitated array microelectrodes for tetracycline detection. *RSC Advances*, 6(21), 17328-17335.
- [21] Le, T. H., Pham, V. P., La, T. H., Phan, T. B., & Le, Q. H. (2016). Electrochemical aptasensor for detecting tetracycline in milk. *Advances in Natural Sciences: Nanoscience and Nanotechnology*, 7(1), 015008.
- [22] Guo, Y., Shen, G., Sun, X., & Wang, X. (2015). Electrochemical aptasensor based on multiwalled carbon nanotubes and graphene for tetracycline detection. *IEEE Sensors Journal*, 15(3), 1951-1958.
- (2014). Development of an aptasensor for electrochemical detection of tetracycline. *Food Control*, 42, 109-115.
- [13] Zhan, X., Hu, G., Wagberg, T., Zhan, S., Xu, H., & Zhou, P. (2016). Electrochemical aptasensor for tetracycline using a screen-printed carbon electrode modified with an alginate film containing reduced graphene oxide and magnetite (Fe<sub>3</sub>O<sub>4</sub>) nanoparticles. *Microchimica Acta*, 183(2), 723-729.
- [14] Ouyang, Q., Liu, Y., Chen, Q., Guo, Z., Zhao, J., Li, H., & Hu, W. (2017). Rapid and specific sensing of tetracycline in food using a novel upconversion aptasensor. *Food Control*, 81, 156-163.
- [15] Tang, Y., Liu, P., Xu, J., Li, L., Yang, L., Liu, X., ...& Zhou, Y. (2018). Electrochemical aptasensor based on a novel flower-like TiO<sub>2</sub> nanocomposite for the detection of tetracycline. *Sensors and Actuators B: Chemical*, 258, 906-912.
- [16] Izadi, Z., Sheikh-Zeinoddin, M., Ensafi, A. A., & Soleimanian-Zad, S. (2016). Fabrication of an electrochemical DNA-based biosensor for *Bacillus cereus* detection in milk and infant formula. *Biosensors and Bioelectronics*, 80, 582-589.
- [17] Chen M. Hou C. Huo D. Fa H. Zhao Y. and Shen C. (2017). A sensitive electrochemical DNA biosensor based on three-dimensional nitrogen-doped graphene

## Fabrication of an amperometric aptasensor for determination of antibiotic amount residues in milk

**Mohammad-Razdari, A.** <sup>1</sup>, **Ghasemi-Varnamkhasti, M.** <sup>2</sup>, **Rostami, S.** <sup>2</sup>, **Ensafi, A. A.** <sup>3</sup>,  
**Izadi, Z.** <sup>4\*</sup>, **Bonyadian, M.** <sup>5</sup>

1. Ph.D. student, Department of Mechanical Engineering Biosystems, Faculty of Agriculture, Shahrekord University, Shahrekord, Iran
2. Associate Professor, Department of Mechanical Engineering of Biosystems, Faculty of Agriculture, Shahrekord University.
3. Professor, Department of Chemistry, Isfahan University of Technology.
4. Assistant Professor, Department of Mechanical Engineering of Biosystems, Faculty of Agriculture, Shahrekord University.
5. Associate Professor, Department of Health and Food Quality Control, Faculty of Veterinary Medicine, Shahrekord University.

(Received: 2019/02/04 Accepted: 2019/05/18)

Quantitative detection of drug residues in animal food stuffs is very important. Excessive use of veterinarian veterinarians, like antibiotics are a serious threat to consumers, due to the residence of livestock products such as meat, milk, eggs. Rapid detection of antibiotics is essential by using an efficient, fast, affordable, and specific tool for risk reduction and food safety control. In the present study, an aptasensor based on pencil graphite electrode modified with nanomaterial including grapheme and gold, for rapid detection of tetracycline antibiotic was developed in milk samples. Cycle voltammetry and differential pulse voltammetry (DPV) techniques were used for response evaluation of aptasensor. In order to modification the graphite pencil electrode, the scanrate (40 mV/s) and the number of cycles (10) and immobilization time of graphene (90 min) were optimized. Under optimum conditions, using differential pulse voltammetry technique was found to increase linearly in the range of  $1 \times 10^{-12}$  to  $1 \times 10^{-5}$  M, with increasing concentration ( $R^2 = 0.985$ ). The detection limit of the aptasensor was found to be  $1.4 \times 10^{-13}$  M. A review of functional characteristics including repeatability, reproducibility, satability, and selectivity suggests acceptable performance for aptasensor. Overall, the fabricated aptasensor has efficiency required to detect tetracycline in milk samples.

**Keyword:** Aptasensor, Amperometric Antibiotic, Nanomaterial, Differential Pulse Voltammetry (DPV).

---

\* Corresponding Author E-Mail Address: Izadi.1365@yahoo.com